

## بهبود کردن الگوریتم کلونی مورچگان برای ردیابی آی پی حملات انکار سرویس

محمد حامدی حمزه کلایی<sup>۱\*</sup>، محمدرضا شامانی<sup>۲</sup>، محمدجواد شامانی<sup>۳</sup>

۱ و ۳- کارشناسی ارشد امنیت اطلاعات، پردیس بین‌المللی کیش دانشگاه تهران ۲- کارشناسی مخابرات دانشگاه آزاد شهر ری

(دریافت: ۹۲/۰۲/۰۲، پذیرش: ۹۲/۰۹/۲۷)

### چکیده

حمله انکار سرویس، یکی از شایع‌ترین و بزرگ‌ترین تهدیدات در اینترنت به‌شمار می‌آید که به‌وسیله تقلب در منبع آدرس آی پی انجام می‌پذیرد و منجر به استفاده از منابع سامانه و در نتیجه کاهش کارایی شبکه می‌شود. ردیابی حملات انکار سرویس به‌روش الگوریتم «فرا ابتکاری مورچگان»، یکی از راهکارهای مؤثر مقابله با این‌گونه از حملات است که از سطح جریان ترافیک برای ردیابی منبع حمله، بهره می‌برد. در این تحقیق به بهبود ردیابی الگوریتم مورچگان پرداخته شده و با تقویت جریان‌های ترافیک محتمل‌تر و کاستن فضای جستجو و تغییر در انتخاب گره پایانی، موفق شده که این الگوریتم بهبود بخشیده شود. نتایج شبیه‌سازی شده نشان می‌دهد که راهکار پیشنهادی می‌تواند حمله‌ها، حتی اگر شدت ترافیک حمله بسیار کم باشد و یا اگر جریان حمله‌ای غیر از حمله موجود در مسیرهای شبکه وجود داشته باشد، را به‌درستی ردیابی کند و این قدمی جدید در عرصه ردیابی حملات به کمک الگوریتم‌های فرا ابتکاری، جهت ردیابی حملات انکار سرویس توزیع شده محسوب می‌شود.

واژه‌های کلیدی: حمله انکار سرویس، ردیابی، کلونی مورچگان، جریان

### ۱. مقدمه

شبکه، به مسدود کردن ترافیک از منبع پرداخته و قادر به عادی-سازی مجدد سرویس شبکه می‌گردد و در نهایت به بازداشت مهاجمین می‌انجامد. با این حال، هنوز حل این مشکل به‌طور کامل محقق نشده و دلیل آن بر اساس این واقعیت است که حملات انکار سرویس جزء دشوارترین مسائل امنیتی جهت تشخیص و دفاع و ردیابی با آن است البته علت آن، محدودیت منابع و ترکیبات شبکه موجود و تعدد روش‌های حمله و در دسترس بودن و قابل استفاده بودن آن، به‌راحتی حتی برای شخصی که اطلاعاتی در مورد امنیت و نفوذ ندارد و همچنین مخفی بودن مقصد برای سایت میزبان می‌باشد که موجب می‌گردد جدا کردن و حذف ترافیک حمله از ترافیک قانونی بسیار دشوار شود [۱۸]. به‌همین دلیل است که به-تازگی بسیاری از محققین بر روی ردیابی آی پی تمرکز کرده‌اند. ردیابی آی پی، روشی برای پیدا کردن منبع حمله بدون وابستگی به سرآیند آی پی است. روش‌های ردیابی آدرس آی پی فعلی نظیر نشانه‌گذاری بسته‌ها [۸] به‌صورت مبتنی بر هش [۹] و گام به گام [۱۰] از اطلاعات موجود در مسیرهای در مسیر حمله انکار سرویس استفاده می‌کند.

بر اساس گزارش سالانه سازمان زیرساخت امنیتی در سال ۲۰۱۰ [۱] و گزارش همایش cryptic سال ۲۰۱۲ [۲]، دفعات حمله انکار سرویس در طول دهه هر سال نزدیک به دو برابر اضافه شده و متناسب با آن، خسارات روز به روز افزوده می‌گردد. حملات با ترافیک پایین در حدود ۸۰ درصد حملات DoS، را شامل می‌شود [۱] که شناسایی و ردیابی آنها به‌نسبت دشوارتر است. از سوی دیگر فن‌های دفاعی به دو دسته دفاع و تشخیص تقسیم می‌شوند [۳]. برای دفاع در مقابل حملات انکار سرویس، مکانیزم‌های کنترلی مانند صافی بسته بر روی مسیر [۴]، صافی ورودی [۵] و محدود کردن نرخ سرویس‌دهی [۶] پیشنهاد شده، به‌علت اینکه مکانیزم‌های هشداردهی محدود کردن نرخ سرویس‌دهی، حملات با جریان‌های ترافیکی قوی را فعال می‌کنند. محدود کردن نرخ سرویس‌دهی برای کاهش خسارت حملات با ترافیک پایین بر روی خطوط ارتباطی مناسب نمی‌باشد. روش‌های فرا واکنشی [۷] به یافتن منبع حمله انکار سرویس پرداخته و با هماهنگی ISP<sup>۱</sup> یا مدیر

1- Internet Service Provider (ISP)

\* رایانامه نویسنده پاسخگو: m.hamedei@alumni.ut.ac.ir

الگوریتم پیشنهادی هساین لای [۱۱] اولین کوشش در زمینه ردیابی حملات انکار سرویس به وسیله الگوریتم مورچگان بوده است، که در سال ۲۰۰۸ برای ردیابی با ترافیک بالا در نظر گرفته شده است و در توپولوژی ساده پیاده‌سازی شده که حملات تنها از گره کناری صورت می‌پذیرد. و به نتایج خوبی رسیده شده است.

همین‌طور بیشتر راهکارهای ارائه شده، برای شبکه‌های با حجم ترافیک بالا در نظر گرفته شده است. در [۱۲] با بهبود الگوریتم آقای هساین لای [۱۱] که به بررسی حمله از گره‌های کناری پرداخته شده، از کلونی مورچگان برای ردیابی حملاتی که مهاجم در یکی از مسیرهای میانی یا کناری قرار گرفته است استفاده شده است. اما در ردیابی حملات با حجم ترافیک پائین عاجز است.

چرا که شرط گره پایانی در الگوریتم [۱۲] برای ردیابی حملات با ترافیک پائین مناسب نیست. علاوه بر آن، تحلیل حملات با ترافیک پایین و بالا در [۱۵] انجام شده است، اما با این که این راهکار در صدد برطرف کردن نقص کارهای قبلی بوده است، ولی دارای نقاط ضعفی می‌باشد. از جمله این که درصد خطا و مثبت نادرست در ردیابی حملات با ترافیک پائین مطلوب نبوده است.

همچنین توسط نویسندگان این مقاله در [۱۶] به وسیله سطح جریان و در [۱۷] به وسیله واریانس جریان صورت پذیرفته است که شیوه‌های پیشنهادی آن قادر به ردیابی حملات با ترافیک پائین نیز می‌باشد.

دو خصیصه سرعت و دقت از مهم‌ترین اهداف الگوریتم‌های جستجوی فرا ابتکاری است. روش ارائه شده در این مقاله، دارای چند تفاوت اصلی با سایر کارها در این حوزه می‌باشد.

اول آنکه، امکان استفاده این روش برای حملات ترافیک با نرخ پایین وجود دارد. دوم، بالا بردن تعداد تکرار حلقه خارجی به‌عنوان شرط گره پایانی می‌باشد، که منجر به بالا بردن دقت می‌شود. سوم، تقویت جریان‌های محتمل‌تر است که منجر به پُررنگ کردن مسیر جریان حمله می‌شود. چهارم، حذف فضای جستجوی زائد که منجر به کاهش زمان اجرای الگوریتم می‌شود. که همه این موارد منجر به ردیابی با دقتی بسیار قوی‌تر نسبت به سایر روش‌ها می‌گردد.

نمای کلی این مقاله به این صورت است، که در بخش دو، مدل پیشنهادی مطرح می‌شود، در بخش سه، الگوریتم بهینه شده ارائه می‌شود و در بخش چهار، شبیه‌سازی و نتایج آن شرح داده می‌شود و در انتها مقاله را با نتیجه‌گیری به پایان برده‌ایم.

در نشانه‌گذاری بسته‌ها، نیاز به رمز کردن اضافی اطلاعات مسیری است که بر روی قسمت‌هایی بدون استفاده سرآیند آی پی که برای ردیابی آی پی کمتر استفاده می‌شوند ذخیره‌سازی می‌شود [۱۱]. همچنین در هر دو روش گام به گام و مبتنی بر هش، نیاز به نصب توابع دیگری بر روی مسیرها برای ردیابی آی پی است.

علاوه بر این، بیشتر روش‌های پیشین، مانند کم کردن اطلاعات مسیری، بر روی قسمت‌های مخصوص سرآیند آی پی و یا ذخیره مقدار قابل توجهی از بسته‌ها در مسیرها، برای ردیابی، نیاز به تغییرات در زیرساخت شبکه دارند [۱۱].

علاوه بر اینها، تمامی روش‌ها نیاز به آن دارند که تمام مسیرها -های در مسیر حمله انکار سرویس، مکانیزم ردیابی آی پی را پشتیبانی کنند تا بتوان ردیابی آی پی را با موفقیت انجام داد. همچنین تغییر زیرساخت‌ها و تغییر در نرم‌افزارهای مسیریابی، بسیار زمان‌بر و پرهزینه می‌باشد [۱۱].

جهت ردیابی حملات با ترافیک پایین نیز ایده‌هایی مطرح شده است، ولی به این علت که از توپولوژی شبیه‌سازی و طراحی شبکه، بر اساس نظر خود بهره برده‌اند یعنی با اصلاح زیرساخت شبکه ایده ردیابی خود را مطرح کرده اند [۱۴]، هم هزینه مالی زیادی در بر دارد و هم هزینه زمانی و نیروی زیادی را می‌طلبد.

از دیگر روش‌های ردیابی آدرس آی پی، منبع حمله انکار سرویس، که مطرح است ردیابی از طریق بررسی اطلاعات جریان ترافیکی موجود در شبکه با استفاده از الگوریتم مورچگان می‌باشد. این روش نیازی به حمایت کامل مسیرها نیز ندارد [۱۱].

الگوریتم‌های فرا ابتکاری محدودی در ردیابی آی پی مورد مطالعه قرار گرفته‌اند. الگوریتم‌های فرا ابتکاری به‌طور ذاتی برای پیدا کردن جواب بهینه قدرتمند هستند. ذات این الگوریتم‌ها، کشف غذا برای بقا است که اولین بار توسط آقای دوریگو [۱۳] در پایان‌نامه دکتری خود جهت یافتن کوتاه‌ترین مسیر از لانه تا منبع غذایی به-کار برده شده است.

از بین روش‌های فرا ابتکاری برای ردیابی حمله انکار سرویس فقط از کلونی مورچگان بهره برده شده است که آن‌هم به‌خاطر دو ویژگی ذاتی الگوریتم مورچگان، یکی فرا ابتکاری بودن و دیگری همگرایی سریع است که موجب کاربرد بیشتر این الگوریتم در مسیریابی‌های مختلف می‌شود. الگوریتم مورچگان از رفتار طبیعی مورچه‌ها الهام گرفته شده است [۱۹].

## ۲. نمای کلی سامانه

الگوریتم کلونی مورچه الهام گرفته شده از مطالعات و مشاهدات روی کلونی مورچه‌هاست. این مطالعات، نشان داده که مورچه‌ها حشراتی اجتماعی هستند که در کلونی‌ها زندگی می‌کنند و رفتار آنها بیشتر در جهت بقای کلونی است تا در جهت بقای یک جزء از آن. یکی از مهم‌ترین و جالب‌ترین رفتار مورچه‌ها، رفتار آنها برای یافتن غذا است و به ویژه چگونگی پیدا کردن کوتاه‌ترین مسیر میان منابع غذایی و آشیانه. این نوع رفتار مورچه‌ها دارای نوعی هوشمندی توده-ای است که اخیراً مورد توجه دانشمندان قرار گرفته است.

در دنیای واقعی مورچه‌ها، ابتدا به‌طور تصادفی به این سو و آن سو می‌روند تا غذا بیابند. سپس به لانه بر می‌گردند و ردی از فرمون به‌جا می‌گذارند. چنین ردهایی پس از باران به رنگ سفید در می‌آیند و قابل رویت اند. مورچه‌های دیگر وقتی این مسیر را می‌یابند، گاه پرسه‌زدن را رها کرده و آن را دنبال می‌کنند. سپس اگر به غذا برسند، به خانه بر می‌گردند و رد دیگری از خود در کنار رد قبل می‌گذارند؛ و به عبارتی مسیر قبل را تقویت می‌کنند.

الگوریتم مورچگان اولین بار برای حل مساله فروشنده دوره گرد<sup>۱</sup> معرفی شده است [۲۰] و سپس در بسیاری از مسائل بهینه‌سازی صدق کرده است. نظیر مسیریابی‌های وسایل نقلیه [۲۱ و ۲۲] و مسیر یابی بین پُست‌های شبکه‌های توزیع برق ولتاژ بالا [۲۳] و بسیاری از مسیریابی شبکه‌های کامپیوتری [۲۴ و ۲۵] کاربرد دارد.

همچنین، بسیاری از زمان‌بندی منابع و سامانه‌های هوشمند از آن بهره برده‌اند. در این الگوریتم، مورچه‌ها با استفاده از ماده‌ای به‌نام فرمون<sup>۲</sup>، که همان اثری است که مورچه‌ها هنگام حرکت بر جای می‌گذارند، به‌صورت غیر مستقیم ارتباط برقرار می‌کنند. که مشابه ردیابی منبع حمله است و اولین بار توسط آقای هساین لای<sup>۳</sup> جهت ردیابی حملات انکار سرویس، به‌کار برده شده است [۱۱].

هر جا که مورچگان بیشتری از یک دنباله پیروی کنند آن دنباله برای پیروی کردن مورچگان جذاب‌تر خواهد شد. در طرح پیشنهادی ردیابی آدرس آی پی، از میانگین تعداد بایت‌های متعلق به حمله انکار سرویس، به‌عنوان اثر فرمون استفاده می‌کنیم. بنابراین مسیریابی که ترافیک آن بیشتر و دارای جریان حمله انکار سرویس بیش‌تر است، مورچگان بیشتری آن مسیریاب را جهت پیمایش به گره بعدی انتخاب خواهند کرد؛ و این به‌شکل یک حلقه بازخورد

مثبت خواهد بود و در نهایت اکثر مورچگان به یک مسیر برای پیمایش همگرا خواهند شد [۱۱]. فرمون به مرور تبخیر می‌شود که از سه جهت مفید است:

۱- باعث می‌شود مسیر جذابیت کمتری برای مورچه‌های بعدی داشته باشد. از آنجا که یک مورچه در زمان دراز راه‌های کوتاه‌تر را بیش‌تر می‌پیماید و تقویت می‌کند هر راهی بین خانه و غذا که کوتاه‌تر (بهتر) باشد بیشتر تقویت می‌شود و آنکه دورتر است کمتر.

۲- اگر فرمون اصلاً تبخیر نمی‌شد، مسیرهایی که چند بار طی می‌شدند، چنان بیش از حد جذاب می‌شدند که جستجوی تصادفی برای غذا را بسیار محدود می‌کردند.

۳- وقتی غذای انتهایی یک مسیر جذاب تمام می‌شود رد باقی نمی‌ماند.

در حالت فرمت ابتدایی مورچه‌ها بر روی مسیریاب ابتدایی جای خواهند گرفت و مقدار دهی اولیه برای شدت دنباله فرمون در هر مسیریاب، تنظیم خواهد شد. زمانی که یک مورچه از یک هدف شروع می‌کند از اطلاعات توپولوژی برای پیدا کردن مسیریاب‌های همسایه استفاده می‌شود؛ و سپس به‌خواندن اطلاعات دنباله فرمون باقی مانده بر روی گره همسایه می‌پردازد تا احتمال هدف را محاسبه کند. سپس مسیریاب بعدی را با احتمالات به‌دست آمده برای پیمایش انتخاب می‌کند [۱۱].

از آنجایی که برخی از حملات انکار سرویس به‌صورت توزیع شده چندین جریان حمله را با ترافیک پایین از چندین مسیر به سمت سرویس دهنده یا طعمه می‌فرستند که مجموع این جریان‌ها با هم منجر به از بین رفتن منابع سرویس دهنده می‌شود لذا، ما برای اینکه بتوانیم اینگونه حملات با سطح ترافیک پایین را بیابیم می‌بایست گره‌های با سطح جریان عادی را نیز جستجو کنیم و با اضافه شدن گره‌ها با جریان عادی به فضای جستجو بر پیچیدگی مسئله افزوده شده و مهم‌تر از آن، می‌بایست شاخصی برای یافتن گره پایانی تعریف می‌کردیم.

گره جواب در روش قدیمی گره‌ای بود که بیشترین مورچه در آخر الگوریتم به آن همگرا شده هستند. به‌عبارتی گره‌ای که بیشترین تعداد مورچه در تکرار آخر به آن همگرا شده باشند، به‌عنوان جواب محسوب می‌گردید [۱۱]. اما در الگوریتم پیشنهادی ما گره‌ای است که بیشترین تعداد مورچگان، مجموعاً در کل دفعات تکرار الگوریتم آن را به‌عنوان گره پایانی و گره هدف معرفی کرده‌اند.

1- TSP  
2- Pheromone  
3- Hsin Lai

بنابراین احتمال انتخاب مسیر یاب شماره ۵ برابر با ۱۰٪ می باشد و این احتمال برای مسیر یاب ۶ برابر با ۵۰٪ و همچنین برای مسیر یاب ۷ برابر با ۴۰٪ است. شدت دنباله فرمون بعد از اتمام مسیریابی کامل تمامی مورچگان از هدف تا مسیر یاب نهایی اصلاح و بازبینی می شود. در شکل ۱ احتمال انتخاب مسیر یاب بعدی آورده شده است.

در ردیابی روش سنتی [۱۱]، در صورت بروز حمله ای در گره های مجاور دچار اختلال گردیده جواب را به درستی اعلام نمی کنند. در صورتی که در روش بهبود یافته ردیابی حمله، با وجود دو جریان، حمله همزمان دیگر در گره های مجاور به درستی انجام شده است. همچنین در روش ردیابی مجموع جریان [۱۶] روش ردیابی واریانس جریان [۱۷] اگر ترافیک موجود بر روی یک مسیر یاب به صورت اتفاقی خیلی بیشتر از سطح عادی باشد، ردیابی به سختی انجام می شود. که در روش بهبود یافته این مشکل نیز برطرف شده است.

## ۲.۱. افزایش تعداد دفعات تکرار حلقه بیرونی

در روش بهبود یافته، بر تعداد دفعات حلقه بیرونی نسبت به روش های واریانس جریان [۱۶] و مجموع جریان [۱۷] در حدود دو برابر افزوده شده است. متناظراً، زمان جستجو نیز بالا خواهد رفت.

برای رفع این ضعف فضای جستجو در روش بهبود یافته را کاهش داده ایم یعنی تنها گره هایی با سطح جریان نزدیک به ماکزیمم عادی مورد جستجو قرار می گیرند. همچنین این امر باعث می گردد تا از پیچیدگی مسئله کاسته شده است و از پراکندگی زیاد به خاطر افزایش جریان های عادی و جریان های نزدیک به حمله کاسته شده است؛ و در تمرکز به روی هدف به ما کمک شایانی کرده است.

افزایش تعداد دفعات تکرار باعث بالا رفتن دقت مسئله می شود؛ و با توجه به اینکه شرط انتخاب گره پایانی تعداد همگرایی کلی است و تعداد همگرایی در آخرین تکرار اجرای الگوریتم مد نظر نیست. این عمل به همراه بندهای زیرین مسبب جستجو دقیق تر می گردد. البته این امر منجر به بالا رفتن زمان اجرا می گردد. ولی از آنجا که میزان افزوده شدن زمان اجرا بسیار ناچیز است. قابل چشم پوشی است.

## ۲.۲. تقویت جریان در گره های محتمل تر

این کار دو مزیت دارد مزیت اول اینکه جریان حملات و جریان های ترافیک سطح بالاتر را به صورت دستی برجسته کرده و این کار باعث راحتی جستجو می شود. مزیت دوم اینکه با توجه به شرط انتخاب گره پایانی که تعداد همگرایی کلی است و تعداد همگرایی در آخرین تکرار اجرای الگوریتم مد نظر نیست.

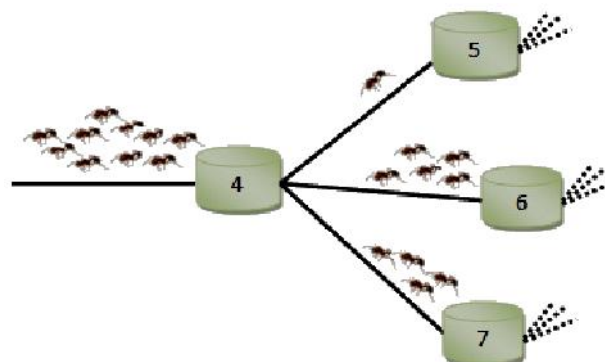
زمانی که تمام مورچه ها کاملاً مسیر خود را پیمایش کردند ما از اطلاعات به دست آمده از دنباله مورچگان برای بازسازی شدت دنباله فرمون استفاده می کنیم؛ و برای تشخیص منبع حمله با رسیدن هر مورچه به آخرین مسیر یاب، یک واحد به شمارشگر آن مسیر یاب اضافه می کنیم. اکنون، حلقه بعدی با شدت دنباله فرمون جدید شروع می شود. این عملیات، تا دفعات تکرار حلقه بیرونی الگوریتم و یا همگرایی اکثر مورچگان به یک هدف یکسان انجام می پذیرد.

زمانی که IDS یک حمله DoS که منبع خود را در شبکه دست کاری کرده، کشف کند به آنالیز بیش تر بسته های حمله DoS پرداخته و سپس لیستی از آدرس های آی پی منبع مشکوک را پیدا خواهد نمود. در مرحله اول، هر گره از شبکه از مقدار مجموع بایت های فرستاده شده در زمان به عنوان و مقدار ابتدایی استفاده می کند. اطلاعات جریان برای تعیین احتمالی که مورچه یک مسیر انتخابی حرکت کند برگزیده می شود [۱۱]. تعیین احتمال از طریق فرمول (۱) انجام می پذیرد [۱۳].

$$p_i(t) = \frac{[\tau_i(t)]^\alpha \cdot [f_i]^\beta}{\sum_{i \in \text{neighbor}} [\tau_i(t)]^\alpha \cdot [f_i]^\beta} \quad (1)$$

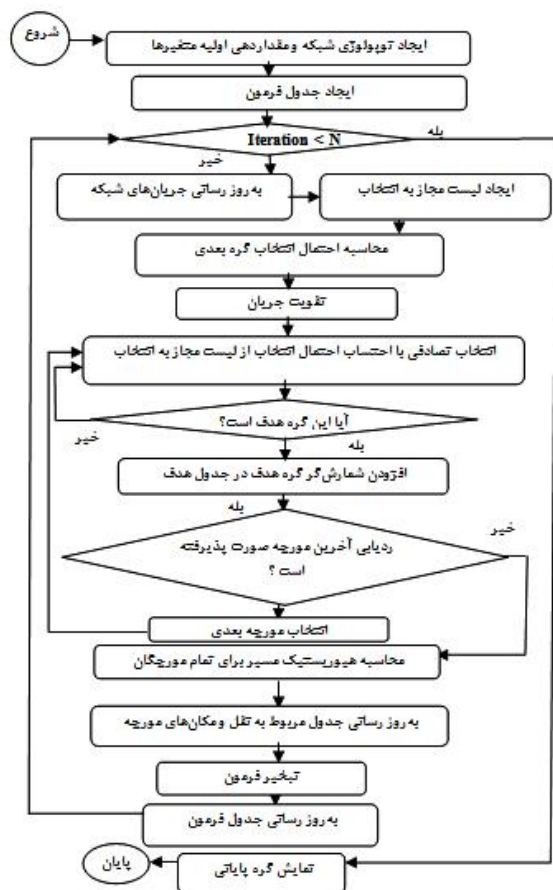
که  $F_i$  به مجموع بایت هایی گفته می شود که در زمان از مسیر یاب شماره  $i$  فرستاده شده است؛ و  $\tau_i(t)$  شدت دنباله فرمون مسیر یاب  $i$  در زمان  $t$  است. احتمال حرکت بعدی بر اساس اطلاعات جریان مسیر یاب همسایه تعیین می گردد [۱۱].

در شکل ۱ مثالی آورده شده است. فرض را بر این داشته ایم که مجموع بایت های فرستاده شده از مسیر یاب شماره ۵ برابر است با ۱۰۰۰ و از مسیر یاب ۶ برابر با ۵۰۰۰ و از مسیر یاب ۷ برابر با ۴۰۰۰ است.



شکل ۱. احتمال انتخاب مسیر یاب بعدی [۱۱]

مسیر را می‌یابند، گاه پرسه زدن را رها کرده و آن را دنبال می‌کنند. سپس اگر به غذا برسند به خانه بر می‌گردند و رد دیگری از خود در کنار رد قبل می‌گذارند؛ و به عبارتی مسیر قبل را تقویت می‌کنند. فلوجارت الگوریتم بهبود یافته در شکل ۲ آورده شده است.



شکل ۲ فلوجارت الگوریتم ردیابی بهبود یافته مورچگان

#### ۴. بررسی عملکرد و شبیه‌سازی

ما با تقویت جریان در گره‌های محتمل‌تر گره‌های فعال در حمله را برجسته‌تر می‌نماییم؛ و این امر به ما در یافتن گره هدف علی‌رغم وجود جریان‌های ترافیکی بالا و نزدیک به جریان حمله کمک می‌کند. تقویت جریان به وسیله قطعه کد زیر انجام پذیرفته است.

توضیح اینکه ابتدا در حلقه اول میانگین جدول فرمون برای هر مسیر یاب محاسبه می‌شود. که در سطرهای ۱ و ۲ و ۳ از قطعه کد شکل ۳ این عمل صورت می‌پذیرد. سپس برای هر مسیر یاب آن مسیرهایی که جریان در آن بزرگ‌تر از میانگین فرمون است با انحراف معیار یا میزان اختلاف این دو جمع گردیده است؛

خصیصه تقویت جریان گره‌های محتمل‌تر همراه با افزایش تعداد دفعات تکرار مسبب برجسته‌سازی و همگرایی بیشتر به گره‌های فعال در حمله به گره یک می‌گردد؛ و این امر باعث ردیابی دقیق‌تر و بهتر می‌گردد. حتی اگر حملاتی در گره‌های مجاور نیز رخ دهد و یا ترافیک جریان در گره‌ای بیش از حد عادی باشد. باز هم ردیابی به‌درستی نتیجه خواهد داد.

#### ۳.۲. حذف فضای جستجوی زائد

به‌جای اینکه حد پایین ترافیک عادی را مورد جستجو قرار داده شود، گره‌ها با جریان نزدیک به ماکزیمم ترافیک در حالت عادی را به‌عنوان گره مجاز اعلام شده است. این کار دو مزیت زیر را در بر داشته است:

با کمتر شدن تعداد گره‌های مجاز به جستجو از فضای جستجو کاسته شده است. در نتیجه زمان اجرای الگوریتم نیز کاسته شده است.

با توجه به اینکه شرط انتخاب گره پایانی تعداد همگرایی کلی است و تعداد همگرایی در آخرین تکرار اجرای الگوریتم مد نظر نیست؛ و همچنین با توجه به اینکه تعداد دفعات تکرار افزوده شده است، اگر ترافیک عادی جریان به‌صورت لحظه‌ای یا کوتاه مدت در یکی از گره‌های مجاور بیشتر گردد، با انتخاب گره‌ها با جریان نزدیک به ماکزیمم ترافیک از برجسته‌سازی گره‌های غیر فعال در حمله جلوگیری کرده‌ایم؛ و این عمل مسبب تمرکز بیشتر به روی هدف شده است از پراکندگی و پیچیدگی مسئله کاسته می‌گردد. در نتیجه بر دقت ردیابی در نهایت افزوده شده است.

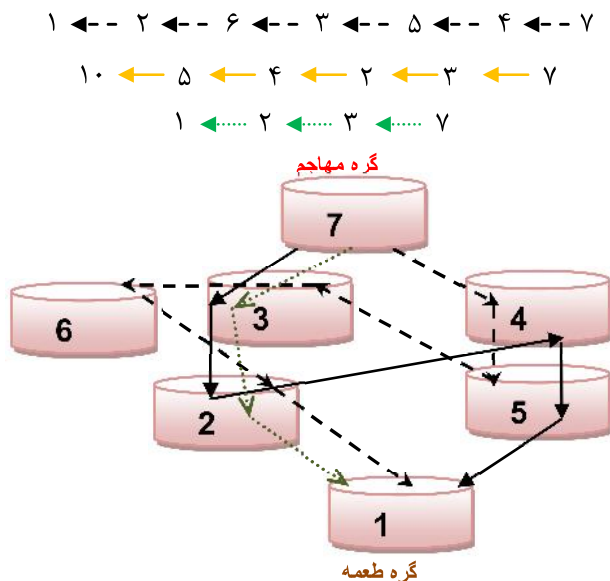
#### ۳. الگوریتم بهبود یافته

در واقع ما با سه تغییر زیر به بهبود هر چه بیشتر الگوریتم ردیابی مورچگان پرداختیم. ترکیب هر سه این تغییرات با هم نتایج قابل قبولی را در بر دارد.

- ۱- افزایش تعداد دفعات تکرار حلقه بیرونی
- ۲- تقویت جریان در گره‌های محتمل‌تر
- ۳- انتخاب گره‌ها با جریان نزدیک به ماکزیمم ترافیک در حالت عادی به‌عنوان گره مجاز.

الگوریتم از گره‌ای که مورد حمله قرار گرفته شروع می‌شود و مورچگان از این گره شروع به حرکت می‌کنند و جریان حمله را خوانده و به‌عنوان منبع غذایی شناسایی می‌کنند. و با برجستگی فرمون در روی مسیری که بایتهای حمله بیشتر است آن مسیر را جذاب‌تر برای دیگر مورچگان می‌کند. مورچه‌های دیگر، وقتی این

جریان عادی در نظر گرفته شده است که با ترافیک بین ۱۱۰ تا ۱۵۰ با طول تصادفی به صورت تصادفی در بین دیگر گره‌ها، جریان داده شده است.



شکل ۴. سه مسیر حمله از گره ۷ به گره ۱ در روش بهبود یافته

برای مثال در شکل ۵ گره‌های برجسته شده از مسیریاب یک نمایش داده شده است. که نمودار قرمز رنگ متعلق به پیش از تقویت جریان است و نمودارهای آبی رنگ، بیانگر بعد از اجرای قطعه کد تقویت جریان است. میانگین فرمون برای مسیریاب یک، برابر ۵/۶۲ می‌باشد. پس مسیریابی که فرمون آنها بیشتر از ۵/۶۲ است می‌بایست با انحراف معیار جمع گردند. این تقویت جریان موجب برجسته‌سازی این مسیرهای محتمل تر خواهد شد؛ و این عمل قدرت ردیابی را افزایش می‌دهد. در شکل ۵، عدد ۵/۶۲ با خط سبز نمایش داده شده است. مشاهده می‌نمایید که مسیریابی که فرمون بیش تر از خط سبز هستند با انحراف معیار جمع گردیده و موجب برجسته‌سازی این مسیرها در جدول فرمون شده است.

و این عمل موجب افزایش فرمون در این مسیرها شده است؛ و در واقع مسیر حمله برجسته تر شده است. شبه کد تقویت جریان در شکل ۳ آورده شده است.

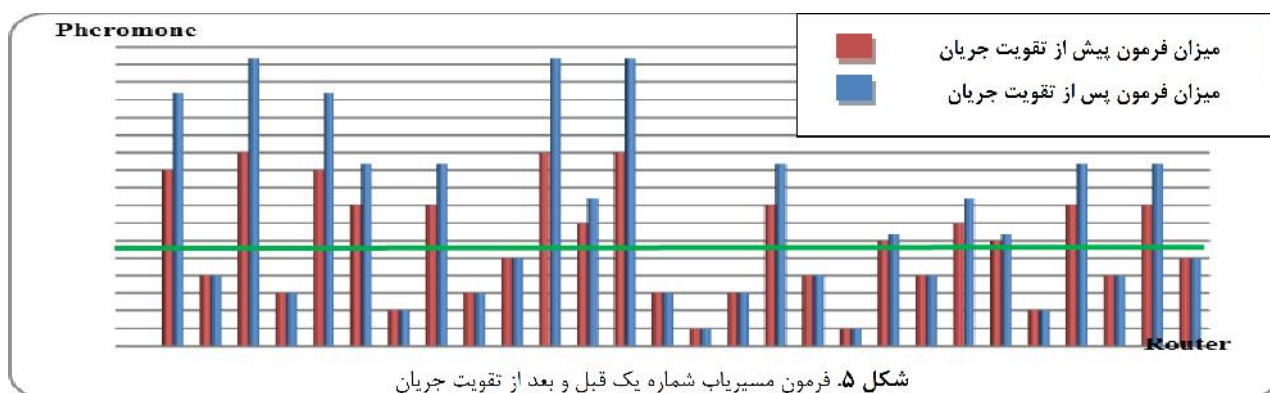
```

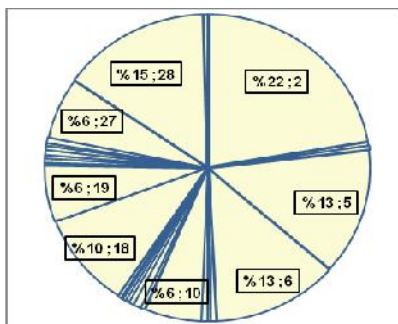
for i=1 : n
    avrage(i) = mean(Pheromonetable(i));
end
for i=1 : n
    for j=1 : n
        if Pheromonetable(i,j) > avrage(i)
            Pheromonetable(i,j)=((Pheromonetable(i,j)- avrage(i))
            +Pheromonetable(i,j));
        end
    end
end
end
    
```

شکل ۳. شبه کد تقویت جریان حمله انکار سرویس

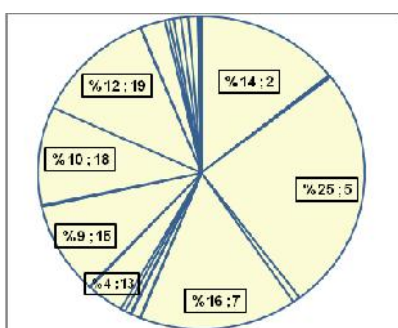
توپولوژی به کار رفته شده برای شبیه‌سازی، شبکه توری می‌باشد که از ۲۹ گره تشکیل شده است و علت انتخاب آن به خاطر پیچیدگی شبکه توری و فضای جستجوی بسیار بالاتر نسبت به شبکه‌های ساده است که توانایی‌های الگوریتم پیشنهادی را نسبت به روش‌های قبلی نشان دهیم. برای بررسی عملکرد مسئله حمله‌ای از مسیری کوتاه‌تر را انتخاب نمودیم که مسیر حمله در شکل ۴ نمایش داده شده است.

گره ۷ به‌عنوان مهاجم و گره ۱ به‌عنوان گره طعمه است. حمله از سه مسیر مختلف برای بالا بردن پیچیدگی مسئله انتخاب شده است. همچنین ترافیک جریان حمله برای هر مسیر ۳۳۰ در نظر گرفته شده است. همچنین در هر بار تکرار حلقه بیرونی در الگوریتم ۳۳،

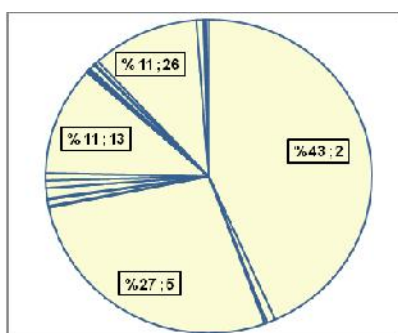




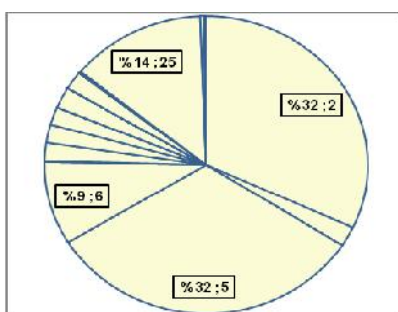
شکل ۷. احتمال حرکت به گره بعدی از مسیر یاب یک در تکرار سوم در روش بهبود یافته



شکل ۸. احتمال حرکت به گره بعدی از مسیر یاب یک در تکرار یازدهم در روش بهبود یافته



شکل ۹. احتمال حرکت به گره بعدی از مسیر یاب یک در تکرار بیست و دوم در روش بهبود یافته

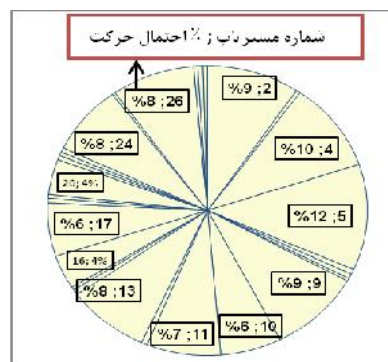


شکل ۱۰. احتمال حرکت به گره بعدی از مسیر یاب یک در تکرار چهل و چهارم در روش بهبود یافته

در شکل ۶، احتمال حرکت از مسیر یاب طعمه در تکرار اول نشان داده شده است. روشن است که به دلیل وجود جریان‌های عادی زیاده‌تر و حتی جریان‌های نزدیک به حمله احتمال حرکت به سمت گره هدف بسیار پیچیده و مشکل است. عملیات تقویت جریان پس از تکرار اول در حلقه بیرونی صورت می‌پذیرد؛ لذا پراکندگی و پیچیدگی حرکت در تکرار اول بسیار بالاست.

اما در تکرارهای بعدی به علت تقویت جریان و تغییراتی نظیر بالا بردن تعداد تکرار حلقه بیرونی و صافی کردن گره‌های غیر محتمل تا حد نسبتاً بالا از این پراکندگی کاسته می‌شود. که در شکل ۷، برای تکرار سوم و شکل ۸، برای تکرار یازدهم و در شکل ۹ برای تکرار بیست و دوم و در نهایت در شکل ۱۰، برای تکرار چهل و چهارم نمایش داده شده است.

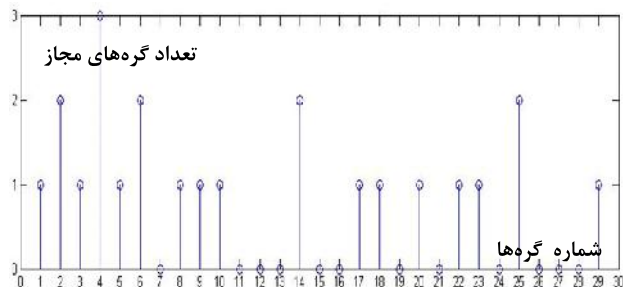
با مشاهده شکل ۶ و شکل ۷ نقش مؤثر تقویت فرمون روشن است. که تعداد گره‌های با احتمال بالا حرکت کاسته شده است. با توجه به شکل ۴، مسیر معکوس حمله، عبور از گره یک به گره‌های دو و سه است. پس در ردیابی بازگشتی درست، می‌بایست احتمال حرکت به این دو گره بیشتر از بقیه گره‌ها باشد. لازم به ذکر است که نتیجه الگوریتم ما نیز همگرایی به این دو گره است و احتمال حرکت مورچه از گره ۱ به گره‌های ۲ و ۳، به عنوان گره‌های فعال در حمله، بیشتر از بقیه گره‌هاست؛ و این نقش تعیین کننده‌ای در حرکت مورچگان به سمت هدف و گره مهاجم داراست. در شکل ۸ مشاهده می‌کنید که گره ۵ محتمل‌ترین گره برای انتخاب بعدی است؛ و گره ۲ پس از گره ۷ سومین گره محتمل‌تر برای انتخاب است. گره هفتم اگرچه در این تکرار به عنوان گره دوم محتمل‌تر نشان داده شده است ولی با نگاهی به شکل ۶ می‌بینیم که در آنجا به عنوان گره‌ای با احتمال انتخاب بسیار پایین یک درصد نمایش داده شده است. که به علت حضور غیر دائمی به عنوان گره‌های محتمل، جواب کلی مسئله را به سمت گره‌های با حضور دائمی سوق خواهد داد.



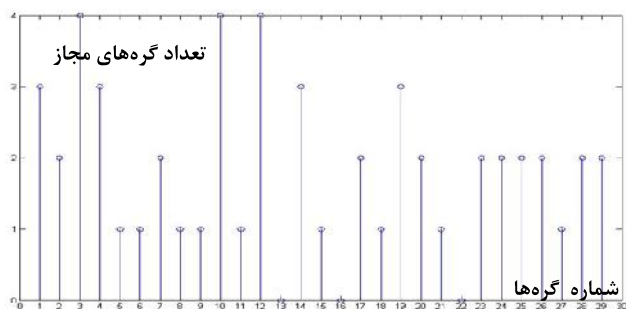
شکل ۶. احتمال حرکت از مسیر یاب یک در تکرار اول در روش بهبود یافته



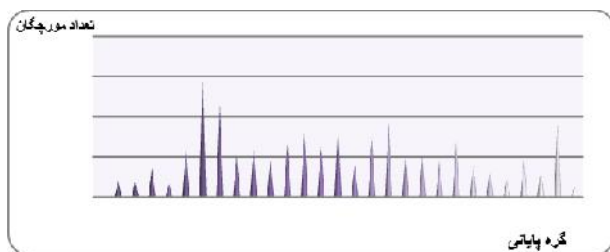
که گرہ هفتم با مجموع تعداد ۱۵۴ مورچه به عنوان گرہ جواب به- درستی انتخاب شده است. در شکل ۱۴ نمودار تغییرات دقت متناسب با افزایش تغییر دفعات تکرار حلقه خارجی برای روش بهبود یافته آورده شده است. مشاهده می فرمایید که نقطه کمینه دقت، برابر با ۰/۷ است. همچنین با افزایش تعداد تکرار حلقه خارجی دقت نیز افزایش داشته است. این افزایش دقت تا تکراری خاص صورت پذیرفته است و پس از آن نوسانات، تقریباً ثابت شده است.



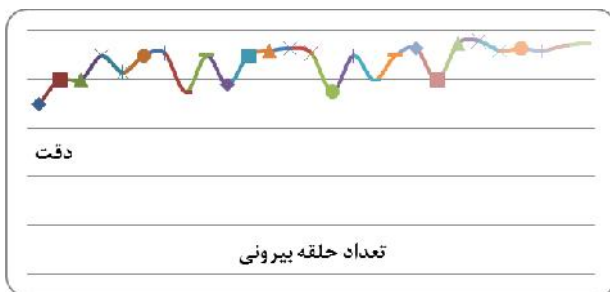
شکل ۱۱. تعداد گرہهای مجاز در تکرار اول در روش بهبود یافته



شکل ۱۲. تعداد گرہهای مجاز در تکرار سوم در روش بهبود یافته



شکل ۱۳. گرہهای جواب در مجموع پنجاه و پنج تکرار در روش بهبود یافته



شکل ۱۴. نمودار تغییرات دقت با تغییر تکرار حلقه خارجی در روش بهبود یافته

با توجه به شکل های ۵ تا ۱۰ مشاهده می شود که گرہهای ۲ و ۵ که به عنوان گرہهای موجود در مسیر حمله به یک هستند همواره در همه تکرارها، به عنوان گرہهای محتمل حضور دارند و رفته رفته با تکرارهای متوالی تر حضور آن ها نیز پر رنگ ترمی گردد. اما گرہهای محتملی که در مسیر حقیقی حمله قرار ندارند دوام چندانی نداشته و گذرا هستند و حتی همین حضور گذرای این ها نیز در بین گرہهای محتمل به خاطر واگرایی مسئله و جستجو در بین گرہها با سطح جریان حضور دارند و رفته رفته با تکرارهای متوالی تر حضور آن ها نیز پر رنگ ترمی گردد، اما گرہهای محتملی که در مسیر حقیقی حمله قرار ندارند دوام چندانی نداشته و گذرا هستند و حتی همین حضور گذرای این ها نیز در بین گرہهای محتمل به خاطر واگرایی مسئله و جستجو در بین گرہها با سطح جریان عادی است. تقویت جریان در برجسته سازی این مسیرها نقش بسزایی داشته است به گونه ای که ما بدون تقویت جریان هرگز به چنین تغییری دست نمی یافتیم.

برای انتخاب گرہهای مجاز نیز می توانیم هم به روش مجموع جریان ترافیکی و هم وارپانس جریان ترافیکی استفاده نمود. برای بهبود انتخاب گرہ پایانی نیز به جای اینکه کمینه یا حد پایین جریان عادی را جستجو کنیم. جریان های نزدیک به ماکزیمم جریان عادی را مجاز به جستجو کرده ایم؛ و با این عمل فضای جستجوی را به میزان قابل قبولی کاهش داده ایم.

به عنوان نمونه حرکت های مجاز در تکرار اول و سوم به ترتیب در شکل ۱۱ و شکل ۱۲ نمایش داده شده است. که در تکرار اول مجموع کل حالت های مجاز برابر ۲۳ شده است. بدین معنی که از ۸۱۲ حالت ممکن (۲۹ گرہ که به صورت توری به هم متصل شده است یعنی  $812 = 29 \times 28$  حالت ممکن در جستجو) تنها ۲۳ مورد (مجموع تعداد گرہهای مجاز که در شکل ۱۰ نشان داده شده است) یعنی  $0.28\%$  از حالات ممکن تنها جستجو شده است در حالی که تعداد جریان های عادی را برابر با ۲۱ مورد قرار داده ایم. همچنین یک جریان حمله با ترافیک ۲۷۰ نیز در مسیر جاری ساختیم. تقریباً یک چهارم از فضای جستجو نسبت به روش غیر بهبود یافته از فضای جستجو کاسته شده است. که تأثیر بسزایی در کاهش زمان جستجو نیز دارا است.

همچنین با توجه به ویژگی بازگشتی الگوریتم با کمتر شدن فضای جستجو رفته رفته به جایی می رسیم که دیگر گرہای مجاز برای جستجو باقی نمی ماند. گرہ جواب، گرہای است که در پایان الگوریتم بیشترین تعداد مورچگان آن را به عنوان گرہ پایانی و گرہ هدف در مجموع کل تکرارها معرفی کرده اند. که در شکل ۱۳ در پایان الگوریتم برای مجموع پنجاه و پنج تکرار نشان داده شده است



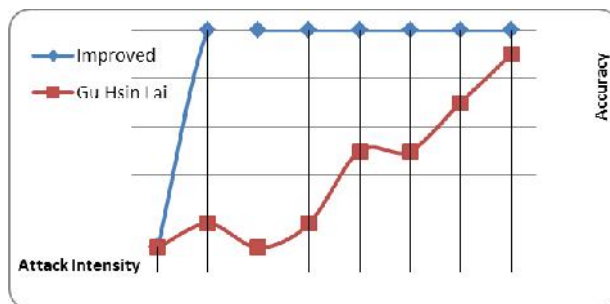
مجاز به جستجو از فضای جستجو کاسته شده است. در نتیجه زمان اجرای الگوریتم نیز کاسته شده است. با توجه به اینکه شرط انتخاب گره پایانی تعداد همگرایی کلی است و تعداد همگرایی در آخرین تکرار اجرای الگوریتم مد نظر نیست؛ و همچنین با توجه به اینکه تعداد دفعات تکرار افزوده شده است.

اگر ترافیک عادی جریان به صورت لحظه‌ای یا کوتاه مدت در یکی از گره‌های مجاور بیشتر گردد. با انتخاب گره‌ها با جریان نزدیک به ماکزیمم ترافیک در حالت عادی ما از برجسته‌سازی گره‌های غیر فعال در حمله جلوگیری کرده‌ایم؛ و این عمل مسبب تمرکز بیشتر به روی هدف شده است از پراکندگی و پیچیدگی مسئله کاسته می‌گردد. در نتیجه بر دقت ردیابی در نهایت افزوده شده است.

## ۵. نتیجه گیری

حملات انکار سرویس با ترافیک پایین عمده‌ترین نوع حملات انکار سرویس است؛ و شناسایی و ردیابی آن‌ها به نسبت دشوارتر است. در ردیابی به کمک الگوریتم مورچگان از راهکار برگشت به مهاجم استفاده می‌شود و از سطح جریان برای ردیابی منبع حمله انکار سرویس استفاده شده است. ما در این تحقیق، به بهبود ردیابی الگوریتم مورچگان پرداخته‌ایم. ما با تقویت جریان‌های محتمل‌تر و ارائه روش جدیدی در جستجو و انتخاب گره هدف، موفق به بهبود این الگوریتم شده‌ایم. نتایج شبیه‌سازی شده نشان می‌دهد که راهکار پیشنهادی می‌تواند حمله‌ها را حتی اگر شدت ترافیک حمله بسیار کم باشد، به درستی ردیابی کند.

همچنین با توجه به نتایج حاصله از شبیه‌سازی ردیابی حمله در کنار دو جریان حمله در گره‌های مجاور در شبکه موفقیت آمیز بوده است؛ و قدمی جدید در عرصه ردیابی حملات به کمک الگوریتم‌های فرا ابتکاری جهت ردیابی حملات انکار سرویس توزیع شده محسوب می‌شود. اگرچه ردیابی حملات انکار سرویس با توزیع بالا هنوز میسر نگشته است ولی این امر، ما را به ردیابی این دسته از حملات به روش الگوریتم مورچگان نزدیک‌تر ساخته است. نیاز است که سرمایه‌گذاری بیش‌تری بر روی الگوریتم مورچگان و یا تولید دیگر روش‌های هوش مصنوعی برای مسائل مربوط به ردیابی آی پی صورت پذیرد و یا حملات انکار سرویس با توزیع بیشتر را بررسی نمود. مدیریت جریان می‌تواند برای شبکه‌های بزرگ مقیاس پذیرتر باشد. علاوه بر این مطالعات عملی برای پیاده‌سازی و گسترش در شبکه‌های بزرگ می‌تواند برای ارزیابی مقیاس‌پذیری این راه‌حل پیشنهادی صورت پذیرد.



شکل ۱۵. نمودار تغییرات دقت با تغییر تکرار حلقه خارجی در روش بهبودیافته و روش آقای هساین لای

از نظر دقت الگوریتم در ردیابی مهاجم الگوریتم بهبودیافته بسیار قوی‌تر از الگوریتم آقای هساین لای عمل کرده است. که در شکل ۱۵ مشاهده می‌فرمائید. مزیت‌های روش بهینه بر روش الگوریتم مورچگان آقای هساین لای [۱۱] به صورت خلاصه در زیر آورده شده است.

افزایش تعداد دفعات تکرار حلقه بیرونی با توجه به شرط گره پایانی جدید، این عمل باعث بالا رفتن دقت مسئله و همچنین افزوده شدن فضای جستجو می‌شود؛ و با توجه به اینکه شرط انتخاب گره پایانی تعداد همگرایی کلی است و تعداد همگرایی در آخرین تکرار اجرای الگوریتم مد نظر نیست. این عمل به همراه بندهای زیرین مسبب جستجو دقیق‌تر می‌گردد. البته این امر منجر به بالا رفتن زمان اجرا می‌گردد. ولی از آنجاکه میزان افزوده شدن زمان اجرا، بسیار ناچیز است. قابل چشم‌پوشی است.

تقویت جریان در گره‌های محتمل‌تر: این کار دو مزیت دارد: جریان حملات و جریان‌های ترافیک سطح بالاتر را، به صورت دستی برجسته کرده و این کار باعث راحتی جستجو می‌شود. با توجه به اینکه شرط انتخاب گره پایانی تعداد همگرایی کلی است و تعداد همگرایی در آخرین تکرار اجرای الگوریتم مد نظر نیست. خصیصه تقویت جریان گره‌های محتمل‌تر همراه با افزایش تعداد دفعات تکرار مسبب برجسته‌سازی و همگرایی بیشتر به گره‌های فعال در حمله به گره یک می‌گردد؛ و این امر باعث ردیابی دقیق‌تر و بهتر می‌گردد.

حتی اگر حملاتی در گره‌های مجاور نیز رخ دهد و یا ترافیک جریان در گره‌ای بیش از حد عادی باشد. باز هم ردیابی به درستی نتیجه خواهد داد. انتخاب گره‌ها با جریان نزدیک به بیشینه ترافیک در حالت عادی به عنوان گره مجاز؛ به جای اینکه حد پایین ترافیک عادی را مورد جستجو قرار داده شود، گره‌ها با جریان نزدیک به بیشینه ترافیک در حالت عادی را به عنوان گره مجاز اعلام شده. این کار، دو مزیت زیر را در بر داشته است. با کمتر شدن تعداد گره‌های

## ۶. مراجع

- [15] Chen. H, Yang. W, "The Design and Implementation of a Practical Meta-Heuristic for the Detection and Identification of Denial-of-Service Attack Using Hybrid Approach," in Proc. Second International Conference on Machine Learning And Computing, Feb 2010.
- [16] Hamedi-Hamzehkolaie. M, Shamani. M. J, M.B. Ghaznavi-Ghoushchi, "Low Rate DOS Traceback Based On Sum of Flows," in Proc. the Sixth International Symposium On Telecommunication(IST 2012), 2012.
- [17] Hamedi-Hamzehkolaie. M, Shamani. M. J, Ghaznavi-Ghoushchi. M. B, "Ant colony traceback for low rate DOS attack," IJCA Special Issue on Computational Intelligence & Information Security CIIS vol.1, pp.22-26,2012.
- [18] Kumarasamy. S, Asokan. R, "DISTRIBUTED DENIAL OF SERVICE (DDOS) ATTACKS DETECTION MECHANISM," International Journal of Computer Science, Engineering and Information Technology (IJCEIT), vol. 1, no.5, December 2011.
- [19] Adesina Anifowose. F, Ibiyemi Eludiora. S, "Application of Artificial Intelligence in Network Intrusion Detection," A Succinct Review World Applied Programming, vol. 2, no. 3, pp. 158-166, March 2012.
- [20] Dorigo. M, Gambardella. L. M, "Ant Colony System : A Cooperative Learning Approach to the Traveling Salesman Problem," IEEE Transactions on Evolutionary Computation, vol1, no. 1, pp. 53-66, 1997.
- [21] Toth. P, Vigo. D, "Models, relaxations and exact approaches for the capacitated vehicle routing problem," Discrete Applied Mathematics, vol.123, pp. 487-512, 2002.
- [22] Donati. A. V, Montemanni. R, Casagrande. N, Rizzoli. A. E, Gambardella. L. M, "Time Dependent Vehicle Routing Problem with a Multi Ant Colony System," European Journal of Operational Research, vol. 185, no. 3, pp. 1174-1191, 2008.
- [23] Zhang. J, Chung. H, Lo. W. L, Huang. T, "Extended Ant Colony Optimization Algorithm for Power Electronic Circuit Design," IEEE Transactions on Power Electronic, vol.24, no.1, pp. 147-162, Jan 2009.
- [24] Caro. G. D, Dorigo. M, "Extending AntNet for best-effort quality-of-service routing," in Proc. the First International Workshop on Ant Colony Optimization (ANTS'98), 1998.
- [25] Caro. G. D, Dorigo. M, "Two ant colony algorithms for best-effort routing in datagram networks," in Proc. the Tenth IASTED International Conference on Parallel and Distributed Computing and Systems (PDCS'98), pp. 541-546, 1998.
- [1] Anstee. D, "DDoS Attack Trends Through 2010," 6th Annual Survey Infrastructure Security Report & ATLAS Initiative, 2010.
- [2] Shinoda. Y, "What's happening out there? Global Information Security Threats Trend(2012)," in Proc. Cryptrec Symposim 2012, 9 March 2012.
- [3] Lu. K, Wu. D, Fan. J, Todorovic. S, Nucci. A, "Robust and efficient detection of DDoS attacks for large-scale internet," Computer Networks vol. 51, pp. 5036-5056, 31 August 2007.
- [4] Park. K, Lee. H, "On the effectiveness of route-based packet filtering for distributed dos attack prevention in power-law internets," in Proc. of ACM SIGCOMM, 2001.
- [5] Ferguson. P, Senie. D, "Network ingress filtering: Defeating denial of service attacks which employ ip source address spoofing," RFC 2267 Report, 1998.
- [6] Chen. S, Song. Q, "Perimeter-based defense against high bandwidth DDoS attacks," IEEE Transaction. Parallel Distribut System. Vol. 16 (6), pp. 526-537, 2005.
- [7] Shahzad. A, Naseem. R, Aadil. F, Khayyam. Sh, "Trends in defensive techniques against Denial of Service (DoS) Attacks," Canadian Journal on Network and Information Security, vol. 1, no. 1, April 2010.
- [8] Aljifri. H, Smets. M, Pons. A, "IP traceback using header Compression," Computers & Security, vol. 22(2), pp. 136-151, 2003.
- [9] Soneren. A, Partridge. C, Sanchez. A, Jones. E, Tachakountio. F, B. Schwartz, et al., "Single-packet IP traceback," IEEE/ACM, Transactions on Networking, vol. 10(6), pp. 721-734, 2002.
- [10] Baba. T, Matsuda. S, "Tracing network attacks to their sources," IEEE Internet Computing, vol. 6(3), pp. 20-26, 2002.
- [11] Hsin Lai. G, Chen. Ch, Chiang Jeng. B, Chao. W, "Ant-based IP traceback," Expert Systems with Applications vol. 34 pp. 3071-3080, 2008.
- [12] Hamedi- Hamzekolaie. M, Ghaznavi- Ghushchi. M. B, Shamani. M. J, IP Tracing the source of denial of service attacks using Genetic Algorithm, 5th Iran Electronic Warfare Conf, Imam Hossein University, 2013 (In Persia)
- [13] Dorigo. M, "Optimization, Learning and Natural Algorithms," PhD thesis, Politecnico di Milano, Italie, 1992.
- [14] Goodrich. M, "Probabilistic packet marking for large-scale IP traceback," IEEE/ACM Transactions on Networking, vol. 16, pp. 15-24, 2008.